

# Capítulo 3

## Equação da Continuidade, Vorticidade, Função Potencial e de Corrente

### 3.1 Equação da Continuidade no Sistema Infinitesimal e num Volume de Controle

A análise do movimento de um fluido pode seguir dois caminhos: (1) descrever o padrão de fluxo detalhado em cada ponto  $(x, y, z)$  do campo ou (2) a partir de um volume fixo (volume de controle), fazendo um balanço do fluxo de entrada versus fluxo de saída de variáveis como massa, momento e energia. A primeira abordagem se constitui na forma diferencial. A segunda é conhecida como forma integral.

Considere uma partícula de fluido de forma cúbica com volume  $\delta V$  em um ponto  $\vec{r}$  do campo, em um tempo  $t$ . A massa da partícula será dada pela densidade multiplicada por seu volume. A variável de campo é a densidade. Se a partícula se desloca ao longo de uma linha de corrente para um região onde o fluxo esta convergindo, sua densidade irá aumentar. Da mesma forma, regiões de divergência levam a uma diminuição da densidade da partícula. A densidade da partícula também pode variar no tempo<sup>1</sup>.

Na ausência de fontes ou sumidouros no interior do partícula de fluido, a taxa de variação temporal de massa da partícula de fluido deve ser igual ao fluxo resultante de massa através das superfícies da mesma partícula. Esta é uma suposição válida para fluxos atmosféricos desde

---

<sup>1</sup>Como exemplo podemos citar o domínio de uma nuvem onde a competição entre condensação e a evaporação afetam a densidade.

que não existem fontes ou sumidouros na atmosfera.

Considere a figura 3.1. A componente de fluxo de massa para fora da partícula será  $(\vec{u} \cdot \vec{n})$ . A variação de massa será positiva se o fluxo for para o interior do partícula de fluido. Integrando sobre o volume, para obtermos a taxa de variação volumétrica resultante com respeito ao tempo,

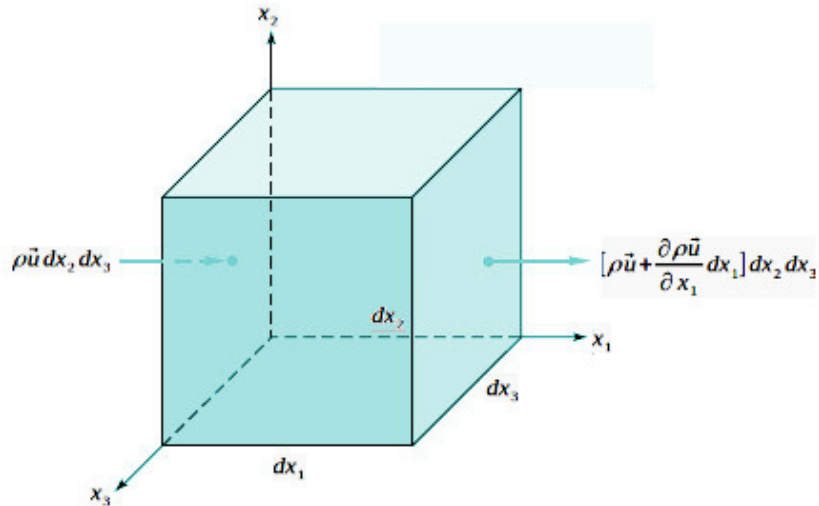


Figura 3.1: partícula de fluido em um ponto do campo  $(x_1, x_2, x_3)$ , em um campo de velocidades  $\vec{u}$ .

e sobre a área da partícula de fluido para a obtenção do fluxo resultante através da superfície, obtemos:

$$\iiint_V \frac{\partial \rho}{\partial t} dV = - \iint_A \rho(\vec{u} \cdot \vec{n}) dA. \quad (3.1)$$

Aplicando o teorema da divergência <sup>2</sup> ao lado direito da equação 3.1 obtemos:

$$\iiint_V \frac{\partial \rho}{\partial t} dV = - \iiint_V \frac{\partial(\rho u_j)}{\partial x_j} dV, \quad (3.2)$$

<sup>2</sup>O teorema da divergência tem a seguinte forma:

$$\iiint_V \nabla \cdot f dV = \iint_A f \cdot \hat{n} dA,$$

O teorema da divergência implica que se a integral de superfície a direita for zero, ou seja, se o fluxo da líquido da grandeza  $f$  for zero através da superfície, o divergente de  $f$  integrado sobre o volume  $dV'$  é zero. Em termos de uma partícula de fluido, isso significa que não há fontes ou sumidouros no interior do volume da partícula. Logo, não há fluxo líquido através da superfície  $A$ .

$$\iiint_V \frac{\partial \rho}{\partial t} dV + \iiint_V \frac{\partial(\rho u_j)}{\partial x_j} dV = 0. \quad (3.3)$$

No limite onde  $dV \rightarrow 0$  no ponto  $\vec{r}$ , a equação 3.3 é reescrita como:

$$\underbrace{\frac{\partial \rho}{\partial t} + \frac{\partial(\rho u_j)}{\partial x_j}}_{\text{Equação Geral da Continuidade}} = 0, \quad (3.4)$$

ou em notação vetorial (simbólica) como

$$\frac{\partial \rho}{\partial t} + \nabla \cdot (\rho \vec{u}) = 0. \quad (3.5)$$

A última equação descreve a variação da densidade em um ponto do campo. Ela exprime que a taxa de variação da massa por unidade de volume em um ponto do campo (variação local da densidade no tempo) é igual ao fluxo de massa por unidade de volume neste ponto.

## 3.2 Equação da Continuidade em Coordenadas Cilíndricas e Plano Polares

A alternativa mais comum ao sistema de coordenadas cartesianas é o sistema de coordenadas cilíndricas. Neste sistema, um ponto é definido por uma distância  $z$  ao longo do mesmo eixo, por uma distância  $r$  do eixo e por um ângulo  $\theta$  em torno do eixo.

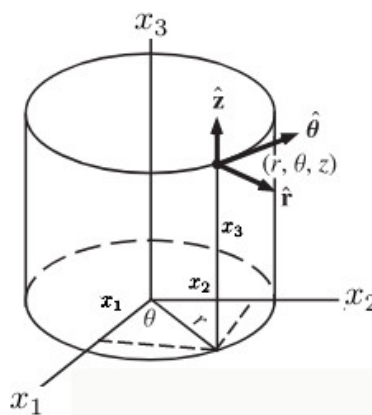


Figura 3.2: Sistema de coordenadas cilíndricas.

A equação da continuidade pode ser escrita em coordenadas cilíndricas. Neste caso, o conjunto  $(x_1, x_2, x_3)$  que descreve um ponto no sistema cartesiano passa  $(r, \theta, x_3)$  no sistema de coordenadas cilíndricas. As equações de transformação são,

$$\begin{cases} r = \sqrt{x_1^2 + x_2^2}, \\ \theta = \tan^{-1}\left(\frac{x_2}{x_1}\right), \\ x_3 = x_3, \end{cases}$$

e a equação da continuidade neste sistema assume a forma a seguir:

$$\frac{\partial \rho}{\partial t} + \frac{1}{r} \frac{\partial(r\rho u_r)}{\partial r} + \frac{1}{r} \frac{\partial(\rho u_\theta)}{\partial \theta} + \frac{\partial(\rho u_3)}{\partial x_3} = 0. \quad (3.6)$$

No caso de fluxos no bidimensionais, onde  $x_3 = 0$ , o sistema de coordenadas cilíndricas se resume ao sistema de coordenadas plano polares a partir da transformação que segue.

$$\begin{cases} r = \sqrt{x_1^2 + x_2^2} \\ \theta = \tan^{-1}\left(\frac{x_2}{x_1}\right) \end{cases}$$

A equação da continuidade por sua vez fica aproximada por:

$$\frac{\partial \rho}{\partial t} + \frac{1}{r} \frac{\partial(r\rho u_r)}{\partial r} + \frac{1}{r} \frac{\partial(\rho u_\theta)}{\partial \theta} = 0. \quad (3.7)$$

### 3.3 Forma Integral da Continuidade

A forma integral da continuidade se torna adequada para sistemas confinados em regiões como taques e tubulações. Ao contrário do enfoque anterior, aqui iremos trabalhar com grandes volumes denominados volume de controle. O volume de controle é confinado em uma região determinada pelas superfícies de controle. O caso mais geral ocorre quando o volume de controle não é fixo no espaço, mas possui uma determinada velocidade ao longo do fluxo. Assumimos que a velocidade das superfícies que confinam o volume de controle é  $w_i$ . Neste caso aplicamos o teorema de Leibnitz a densidade.

O teorema de Leibnitz permite calcular a taxa de variação temporal  $(D/Dt)$  de uma grandeza física conservativa  $f$  sobre um volume que pode estar variando devido ao seu movimento com

velocidade  $\vec{u}$ . Essas variações de volume podem ser expansões ou contrações no tempo. O volume em questão pode ser o volume de uma partícula, de uma nuvem, de uma massa de ar ou mesmo da atmosfera planetária. O teorema de Leibnitz em sua forma analítica é escrito como segue:

$$\frac{D}{Dt} \iiint_V f dV = \iiint_V \frac{\partial f}{\partial t} dV + \iint_A f(\vec{u} \cdot \hat{n}) dA. \quad (3.8)$$

Na equação anterior,  $V'$  representa o volume de integração. Se não ocorrem variações de volume (se não existe movimento relativo entre as fronteiras do volume) a integral de superfície é zero. Isto significa que não existe um fluxo líquido da grandeza  $f$  através do volume. A derivada parcial no primeiro termo a direita na equação anterior pode ser calculada tanto dentro como fora da integral. Adicionalmente, a grandeza  $f$  pode estar variando devido a possíveis fontes e sumidouros dentro do volume  $V'$ .

$$\frac{D}{Dt} \iiint_V f dV = \sum Q, \quad (3.9)$$

$Q$  representa fontes ou sumidouros da grandeza  $f$  no interior do volume  $V'$ . Generalizando,

$$\sum Q = \iiint_V \frac{\partial f}{\partial t} dV + \iint_A f(\vec{u} \cdot \hat{n}) dA \quad (3.10)$$

Assim,

$$\frac{D}{Dt} \iiint_V \rho dV = \iiint_V \frac{\partial \rho}{\partial t} dV + \iint \rho w_i n_i dA. \quad (3.11)$$

Usando a continuidade no segundo termo da última equação e aplicando o teorema da divergência, obtemos:

$$\frac{D}{Dt} \iiint_V \rho dV = - \iiint_V \frac{\partial(\rho u_i)}{\partial x_i} dV + \iint \rho w_i n_i dA. \quad (3.12)$$

$$\frac{D}{Dt} \iiint_V \rho dV = - \iint \rho u_i n_i dA + \iint \rho w_i n_i dA, \quad (3.13)$$

$$\frac{D}{Dt} \iiint_V \rho dV = - \iint \rho(u_i - w_i) n_i dA. \quad (3.14)$$

A equação anterior expressa que a taxa de variação temporal da massa no volume de controle é igual a densidade multiplicada pela componente normal do fluxo através das superfícies do volume de controle. Se o volume de controle for fixo,  $w_i=0$ .

### 3.4 Funções de Corrente e Potencial em Fluxos

#### Bidimensionais

A função de corrente é uma função que satisfaz a lei da conservação da massa para fluxos incompressíveis. Ela é obtida no caso apenas de fluxos bidimensionais. Partindo da equação da continuidade,

$$\frac{\partial \rho}{\partial t} + \frac{\partial(\rho u_j)}{\partial x_j} = 0, \quad (3.15)$$

$$\frac{\partial \rho}{\partial t} + \frac{\partial(\rho u_1)}{\partial x_1} + \frac{\partial(\rho u_2)}{\partial x_2} + \frac{\partial(\rho u_3)}{\partial x_3} = 0. \quad (3.16)$$

Inicialmente eliminamos o termo local, o qual é uma aplicação não realista da função de corrente.

A seguir, reduzimos a equação da continuidade a dois termos.

$$\frac{\partial(u_1)}{\partial x_1} + \frac{\partial(u_2)}{\partial x_2} = 0. \quad (3.17)$$

Essa equação é satisfeita se definirmos uma função  $\psi(x_1, x_2)$ , de forma que:

$$u_1 = \frac{\partial \psi(x_1, x_2)}{\partial x_2} \quad (3.18)$$

$$u_2 = -\frac{\partial \psi(x_1, x_2)}{\partial x_1}, \quad (3.19)$$

de forma que,

$$\frac{\partial}{\partial x_1} \left( \frac{\partial \psi(x_1, x_2)}{\partial x_2} \right) + \frac{\partial}{\partial x_2} \left( -\frac{\partial \psi(x_1, x_2)}{\partial x_1} \right) = 0. \quad (3.20)$$

### 3.4.1 Interpretação Geométrica de $\psi$

A definição de linhas de corrente vem da equação,

$$\frac{dx_1}{x_1} = \frac{dx_2}{x_2}, \quad (3.21)$$

$$x_1 dx_2 - x_2 dx_1 = 0. \quad (3.22)$$

Em termos da função de corrente,

$$\frac{\partial \psi}{\partial x_1} dx_1 + \frac{\partial \psi}{\partial x_2} dx_2 = 0 = d\psi \quad (3.23)$$

A equação 3.23 mostra que a variação de  $\psi$  ao longo de uma linha de corrente é zero. Dessa forma, tendo encontrado uma dada função  $\psi(x_1, x_2)$ , podemos traçar linhas com  $\psi$  constante, e resolver o padrão de linhas de corrente para o fluxo.

### 3.4.2 Interpretação Física de $\psi$

O fluxo volumétrico  $Q$  através de um elemento  $d\vec{s}$  de uma superfície de controle com profundidade unitária é (figura 3.3):

$$dQ = (\vec{u} \cdot \hat{n})dA = \left( \frac{\partial \psi}{\partial x_2} \hat{i} - \frac{\partial \psi}{\partial x_1} \hat{j} \right) \cdot \left( \frac{dx_2}{ds} \hat{i} - \frac{dx_1}{ds} \hat{j} \right) dA \quad (3.24)$$

$$dQ = \left( \frac{\partial \psi}{\partial x_2} \frac{dx_2}{ds} - \frac{\partial \psi}{\partial x_1} \frac{dx_1}{ds} \right) \underbrace{dA}_{dA=1ds} \quad (3.25)$$

$$dQ = \left( \frac{\partial \psi}{\partial x_2} \frac{dx_2}{ds} - \frac{\partial \psi}{\partial x_1} \frac{dx_1}{ds} \right) ds \quad (3.26)$$

$$dQ = \left( \frac{\partial \psi}{\partial x_2} dx_2 - \frac{\partial \psi}{\partial x_1} dx_1 \right) = d\psi \quad (3.27)$$

A variação de  $\psi$  é igual ao fluxo volumétrico ao longo do elemento. Além disso, a direção do fluxo pode ser determinada observando se  $\psi$  aumenta ou diminui. Conforme esboçado na figura 3.4, o fluxo é para a direita se  $\psi_1$  for maior que  $\psi_2$ , como na figura 3.4.(a); caso contrário, o

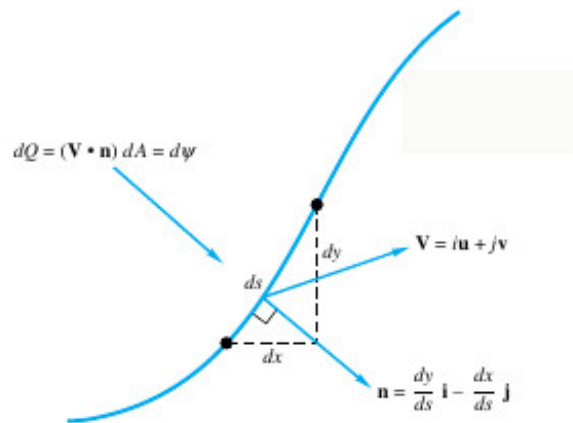


Figura 3.3: Interpretação física função  $\psi$ : fluxo de volume através de uma porção diferencial de um superfície de controle unitária com respeito a profundidade.

fluxo é para o esquerda. Tanto a função de corrente a velocidade potencial foram inventados pelo matemático francês Joseph Louis Lagrange, publicadas em seu tratado sobre mecânica de fluidos em 1781.

$$Q = \int_1^2 (\vec{u} \cdot \vec{n}) dA = \int_1^2 d\psi = \psi_2 - \psi_1 \quad (3.28)$$

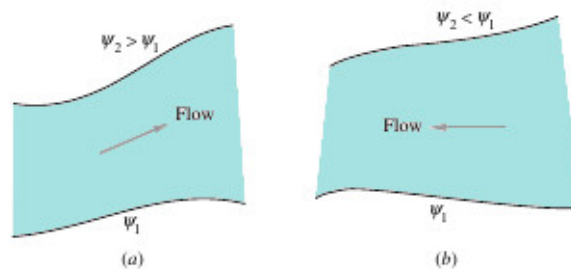


Figura 3.4: Convenção de sinais o fluxo em termos da mudança na função do fluxo: (a) flui para a direita se  $\psi_2$  é maior; (b) flui para a esquerda se  $\psi_1$  for maior.

### 3.5 Fluxo Bidimensional Compressível

Neste caso, a equação da continuidade é apresentada como:

$$\frac{\partial(\rho u_1)}{\partial x_1} + \frac{\partial(\rho u_2)}{\partial x_2} = 0, \quad (3.29)$$

com função de corrente definida a partir de



$$\rho u_1 = \frac{\partial \psi}{\partial x_2}, \quad (3.30)$$

$$\rho u_2 = -\frac{\partial \psi}{\partial x_1}. \quad (3.31)$$

Normalmente, linhas com  $\psi$  constante são linhas de fluxo, entretanto, a variação de  $\psi$  é igual ao fluxo de massa e não ao fluxo volumétrico.

$$dm = \rho(\vec{u} \cdot \hat{n})dA = d\psi \quad (3.32)$$

$$m_{1 \rightarrow 2} = \int_1^2 \rho(\vec{u} \cdot \hat{n})dA = \psi_2 - \psi_1 \quad (3.33)$$

### 3.6 Fluxo Bidimensional Incompressível em Coordenadas Plano

#### Polares

Suponha que as coordenadas de interesse sejam  $r$  e  $\theta$ , com  $u_3 = 0$ , e densidade constante.

A equação da continuidade fica reduzida a:

$$\frac{1}{r} \frac{\partial(ru_r)}{\partial r} + \frac{1}{r} \frac{\partial u_\theta}{\partial \theta} = 0 \quad (3.34)$$

A equação equivalente em coordenadas cartesianas é:

$$\frac{\partial(u_1)}{\partial x_1} + \frac{\partial(u_2)}{\partial x_2} = 0.$$

Da definição de  $\psi$ ,

$$u_1 = \frac{\partial \psi}{\partial x_2} \quad (3.35)$$

$$u_2 = -\frac{\partial \psi}{\partial x_1}. \quad (3.36)$$

Em coordenadas plano polares,

$$u_1 = \frac{\partial \psi}{\partial \theta} \quad (3.37)$$

$$u_2 = -\frac{\partial \psi}{\partial r}, \quad (3.38)$$

de forma que a equação da continuidade em coordenadas cartesianas pode ser reescrita como segue:

$$\frac{\partial}{\partial r} \left( \frac{\partial \psi}{\partial \theta} \right) + \frac{\partial}{\partial \theta} \left( -\frac{\partial \psi}{\partial r} \right) = 0, \quad (3.39)$$

sendo

$$u_r = \frac{1}{r} \frac{\partial \psi}{\partial \theta}, \quad (3.40)$$

$$u_\theta = -\frac{\partial \psi}{\partial r}. \quad (3.41)$$

Mais uma vez, as linhas com  $\phi$  constante são linhas de corrente, e a variação é o fluxo de volume  $Q_{1 \rightarrow 2} = \phi_2 - \phi_1$ . A convenção de sinais é a mesma da figura 3.4.

### 3.7 Velocidade Potencial

A irrotacionalidade dá origem a uma função escalar  $\phi$  similar ou complementar a função de corrente  $\psi$ . Do cálculo vetorial, um vetor que tem um rotacional zero pode ser escrito como o gradiente de uma função escalar. Portanto, dado um vetor  $\vec{u}$ , se

$$\nabla \times \vec{u} = 0, \quad (3.42)$$

$$\vec{u} = \nabla \phi. \quad (3.43)$$

$\phi$  é uma função de  $(x_1, x_2, x_3, t)$ , sendo denominada de velocidade potencial. O conhecimento de  $\phi$  permite a imediata determinação das componentes da velocidade.

$$u_1 = \frac{\partial \phi}{\partial x_1} \quad (3.44)$$

$$u_2 = \frac{\partial \phi}{\partial x_2} \quad (3.45)$$

Em coordenadas plano polares,

$$u_r = \frac{\partial \phi}{\partial r} \quad (3.46)$$

$$u_\theta = \frac{1}{r} \frac{\partial \phi}{\partial \theta} \quad (3.47)$$

Linhas onde  $\phi$  é constante são chamadas de linhas potenciais de fluxo. Para um fluxo irrotacional, descrito por apenas duas componentes, tanto  $\psi$  como  $\phi$  ambas existem, e a função de corrente e potencial são mutuamente perpendiculares, exceto em pontos de estagnação, onde  $u_1 = u_2 = u_3 = 0$ . Uma linha onde  $\phi$  é constante apresenta  $d\phi = 0$ .

$$d\phi = \frac{\partial \phi}{\partial x_1} dx_1 + \frac{\partial \phi}{\partial x_2} dx_2 = 0 \quad (3.48)$$

Da mesma forma para  $\psi$ ,

$$d\psi = \frac{\partial \psi}{\partial x_1} dx_1 + \frac{\partial \psi}{\partial x_2} dx_2 = 0 \quad (3.49)$$

$$u_1 dx_1 + u_2 dx_2 = 0 \quad (3.50)$$

$$\left( \frac{dx_2}{dx_1} \right)_{\phi=cte} = - \frac{\frac{\partial \phi}{\partial x_1}}{\frac{\partial \phi}{\partial x_2}} = - \frac{u_1}{u_2} = - \frac{\frac{\partial \psi}{\partial x_2}}{-\frac{\partial \psi}{\partial x_1}} = \frac{u_2}{u_1} = - \frac{1}{\left( \frac{dx_2}{dx_1} \right)_{\psi=cte}} \quad (3.51)$$

A equação anterior é a condição de ortogonalidade entre  $\psi$  e  $\phi$ .

## 3.8 Casos particulares

### 3.8.1 Campo de Velocidade Uniforme I

Um campo de velocidade uniforme ao longo da direção  $x_1$ ,  $\vec{u} = u_1 \hat{i}$ , possui definidas a função de corrente e a velocidade potencial. As relações são apresentadas a seguir:

$$u_1 = \frac{\partial \phi}{\partial x_1} = \frac{\partial \psi}{\partial x_2}, \quad (3.52)$$

$$u_2 = \frac{\partial \phi}{\partial x_2} = -\frac{\partial \psi}{\partial x_1}. \quad (3.53)$$

A velocidade potencial e a função de corrente são obtidas a partir das equações 4.52 e 4.53.

$$\partial \phi = u_1 \partial x_1 \quad (3.54)$$

$$\int \partial \phi = \int u_1 \partial x_1 \quad (3.55)$$

$$\phi = (u_1 x_1) + C \quad (3.56)$$

$$\partial \psi = u_1 \partial x_2 \quad (3.57)$$

$$\int \partial \psi = \int u_1 \partial x_2 \quad (3.58)$$

$$\psi = (u_1 x_2) + k \quad (3.59)$$

Nas equações 4.56 e 4.59,  $x_1$  e  $x_2$  são constantes.

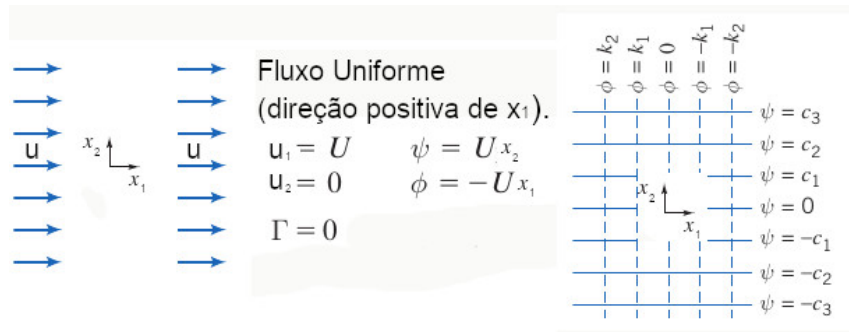


Figura 3.5: Fluxo uniforme.

### 3.8.2 Fonte ou Sorvedouro na Origem I

Uma fonte é um modelo de fluxo no plano- $x_1x_2$ , em que o fluxo é radial e para fora do eixo  $x_3$ , e simétrico em todas as direções (figura 3.6). A intensidade  $Q$  da fonte é o fluxo volumétrica por unidade de profundidade. Para qualquer raio  $r$  de uma fonte, a velocidade tangencial  $u_\theta$  é zero; a velocidade radial  $u_r$  é o fluxo volumétrica por unidade de profundidade  $Q$  dividida pela área de fluxo por unidade de profundidade  $2\pi r$ . Portanto,  $u_r = Q/2\pi r$  para uma fonte. Conhecendo  $u_r$  e  $u_\theta$  obtemos diretamente  $\psi$  e  $\phi$  respectivamente.

Em um sorvedouro, o fluxo é radialmente para dentro; um sorvedouro é uma fonte negativa. As funções  $\psi$  e  $\phi$  são as funções negativas correspondentes a um fluxo fonte. A origem tanto da fonte quanto do sorvedouro é um ponto singular, visto que a velocidade radial se aproxima do infinito conforme o raio se aproxima de zero. Portanto, embora um fluxo real possa se assemelhar a uma fonte ou sorvedouro para alguns valores de  $r$ , as fontes e sorvedouros não possuem homólogos fisicamente exatos. O principal valor do conceito de fontes e sorvedouros é que, quando combinados com outros fluxos, produzem modelos que representam adequadamente fluxos reais.

A relação entre as componentes da velocidade,  $\psi$  e  $\phi$  são expressas na forma a seguir.

$$u_r = \frac{Q}{2\pi r} = \frac{m}{r} = \frac{1}{r} \frac{\partial \psi}{\partial \theta} = \frac{\partial \phi}{\partial r} \quad (3.60)$$

$$u_\theta = 0 = -\frac{\partial \psi}{\partial r} = \frac{1}{r} \frac{\partial \phi}{\partial \theta} \quad (3.61)$$

Resolvendo para  $\psi$  e  $\phi$ ,

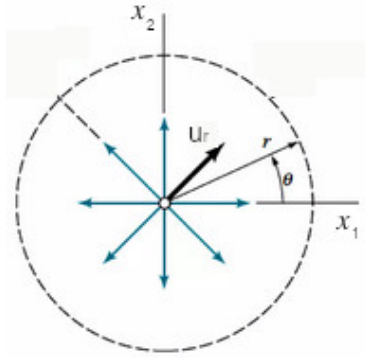


Figura 3.6: Apenas a componente radial da velocidade é não nula.

$$\frac{1}{r} \frac{\partial \psi}{\partial \theta} = \frac{m}{r}, \quad (3.62)$$

$$\partial \psi = m \partial \theta, \quad (3.63)$$

$$\psi = (m\theta) + C, \quad (3.64)$$

$$\frac{\partial \phi}{\partial r} = \frac{m}{r}, \quad (3.65)$$

$$\partial \phi = \frac{m}{r} \partial r, \quad (3.66)$$

$$\phi = m \ln(r) + k. \quad (3.67)$$

Nas equações anteriores,  $m = Q/2\pi$ .

### 3.8.3 Linha de Vórtice I

Um modelo de fluxo em que as linhas de corrente são círculos concêntricos é um vórtice; em um vórtice livre (irrotacional), as partículas fluidas não giram enquanto transladam em uma trajetória circular em torno do centro do vórtice. As funções de corrente representam linhas circulares, onde  $u_\theta = f(r)$  somente, e  $u_r = 0$ . Neste caso, o rotacional de  $u_\theta(r)$  é zero, e  $u_\theta = K/r$ , sendo  $K$  uma constante denominada força de vórtice.

$$u_r = 0 = \frac{1}{r} \frac{\partial \psi}{\partial \theta} = \frac{\partial \phi}{\partial r} \quad (3.68)$$

$$u_\theta = K/2\pi r = -\frac{\partial \psi}{\partial r} = \frac{1}{r} \frac{\partial \phi}{\partial \theta} \quad (3.69)$$

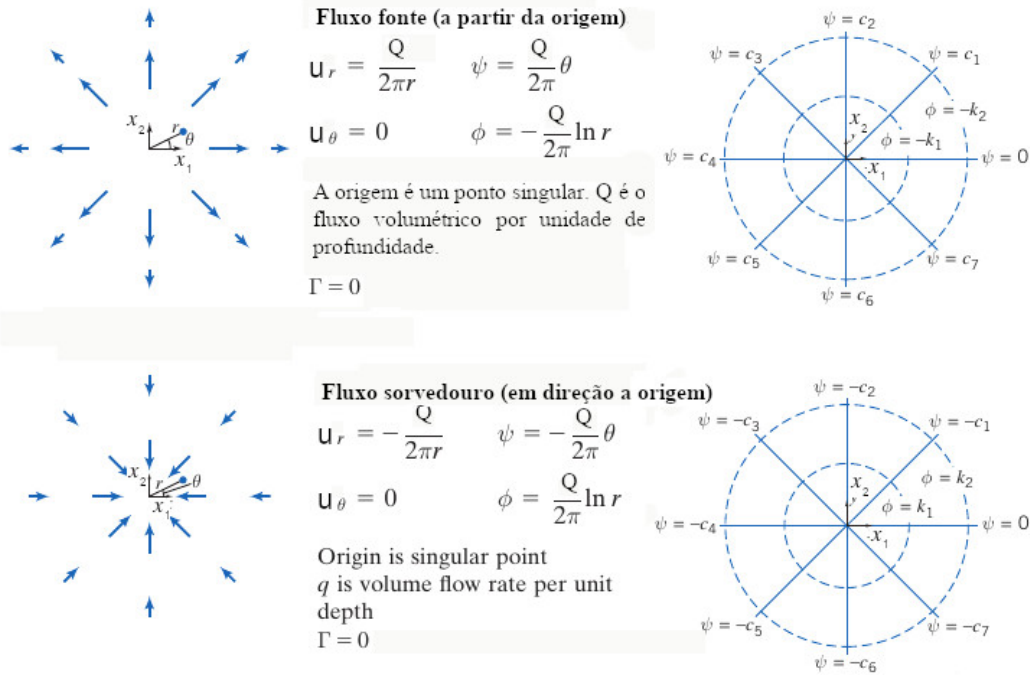


Figura 3.7: Fonte ou sorvedouro.

$$-\frac{\partial \psi}{\partial r} = \frac{K}{r} \quad (3.70)$$

$$\partial \psi = -\frac{K}{2\pi} \frac{\partial r}{r} \quad (3.71)$$

$$\psi = -\frac{K}{2\pi} \ln(r) + C \quad (3.72)$$

$$\frac{1}{r} \frac{\partial \phi}{\partial \theta} = \frac{K}{2\pi r} \quad (3.73)$$

$$\partial \phi = K \partial \theta \quad (3.74)$$

$$\phi = \frac{K}{2\pi} \theta + k \quad (3.75)$$

A intensidade  $K$  do vórtice é definida como  $K = 2\pi r u_\theta$ ; as dimensões de  $K$  são  $L^2/t$  (vazão volumétrica por unidade de profundidade). Mais uma vez, conhecendo  $u_r$  e  $u_\theta$  se obtém  $\psi$  e  $\phi$  respectivamente. O vórtice irrotacional é uma aproximação razoável para o campo de fluxo em um tornado (exceto na região da origem; a origem é um ponto singular).

### 3.9 Potenciais Complexos

Neste seção,  $z$  denotará uma variável complexa

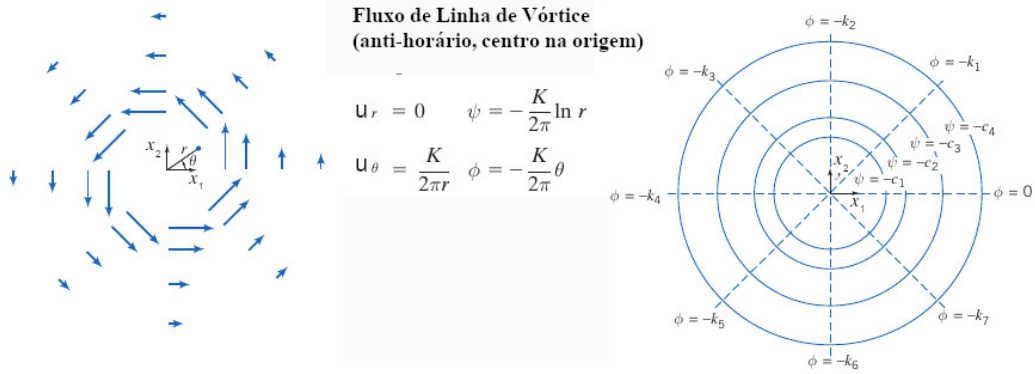


Figura 3.8: Fluxo de linha de vórtice.

$$z \equiv x_1 + ix_2 = re^{i\theta}, \quad (3.76)$$

onde  $i = \sqrt{-1}$ ,  $(x_1, x_2)$  são coordenadas cartesianas, e,  $(r, \theta)$  são coordenadas polares. Na forma complexa, o número complexo  $z$  representa um ponto no plano- $x_1x_2$  cujo eixo real é  $x_1$  e o eixo imaginário é  $x_2$  (9). Na forma polar,  $z$  representa vetor posição  $Ox_3$ , cuja magnitude é  $r = (x_1^2 + x_2^2)^{1/2}$  e cujo ângulo com o eixo  $x_1$  é  $\tan^{-1}(x_2/x_1)$ .

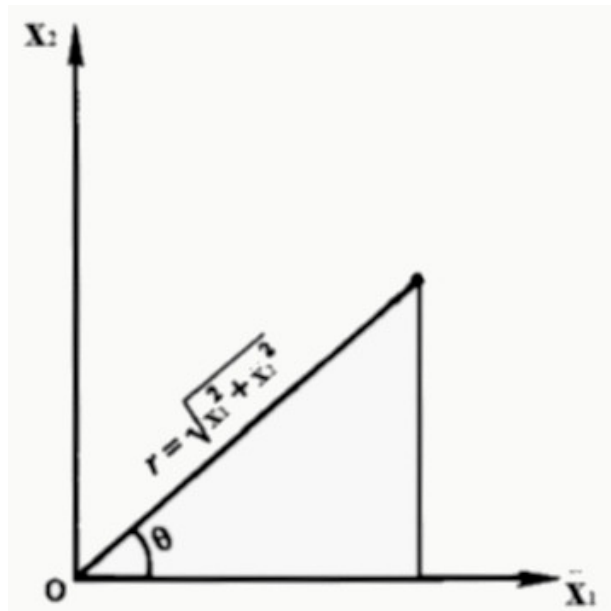


Figura 3.9: Plano complexo  $z$ .

O produto de dois números complexos  $z_1$  e  $z_2$  é

$$z_1 z_2 = r_1 r_2 e^{i(\theta_1 + \theta_2)}. \quad (3.77)$$



Portanto, o processo de multiplicar um número complexo  $z_1$  por outro número complexo  $z_2$  pode ser considerado como uma operação que leva a magnitude de  $r_1$  para  $r_1 r_2$  e aumenta o argumento de  $\theta_1$  para  $\theta_1 + \theta_2$ . Quando  $x_1$  e  $x_2$  são consideradas variáveis, a quantidade complexa  $z = x_1 + ix_2$  é chamada de variável complexa. Suponha que definimos outra variável complexa  $w$  cujas partes real e imaginária sejam  $\psi$  e  $\phi$ :

$$w \equiv \phi + i\psi. \quad (3.78)$$

Se  $\phi$  e  $\psi$  são funções de  $x_1$  e  $x_2$ , então  $w$  também é. Da teoria de variáveis complexas é demonstrado que  $w$  é uma função da combinação  $x_1 + ix_2 = z$ , e em particular tem derivada única e finita  $dw/dz$  quando suas partes reais e imaginárias satisfazem o par de relações,

$$\frac{\partial \phi}{\partial x_1} = \frac{\partial \psi}{\partial x_2}, \quad (3.79)$$

$$\frac{\partial \phi}{\partial x_2} = -\frac{\partial \psi}{\partial x_1}, \quad (3.80)$$

conhecidas como relações de *Cauchy-Riemann*. Aqui, a derivada  $dw/dz$  é única se o valor de  $\delta w/\delta z$  não depender da orientação do diferencial  $\delta z$  à medida que se aproxima de zero. Uma função de valor único  $w = f(z)$  é chamado de função analítica da variável complexa  $z$  em uma região se a derivada finita  $dw/dz$  existe em todos os pontos da região. Pontos onde  $w$  ou  $dw/dz$  são zero ou infinitos são chamados de singularidades, onde  $\phi$  e  $\psi$  não são ortogonais. Por exemplo,  $w = \text{Ln}(z)$  e  $w = 1/z$  são analíticos em todos os lugares, exceto em um ponto singular  $z = 0$ , onde as relações de Cauchy-Riemann não são satisfeitas.

A combinação  $w = \phi + i\psi$  é chamada de potencial complexo para um fluxo. Visto que a função de corrente e a velocidade potencial satisfazem as relações de Cauchy-Riemann, e que a parte real e a parte imaginária de qualquer função  $w(z) = \phi + i\psi$  também satisfazem as mesmas relações, segue que qualquer função analítica de  $z$  representa um potencial complexo de um fluxo bidimensional. A derivada  $dw/dz$  é uma importante quantidade na descrição de fluxos irrotacionais. Por definição,

$$\frac{dw}{dz} = \lim_{\delta z \rightarrow 0} \frac{\delta w}{\delta z}. \quad (3.81)$$

Como a derivada é independente da orientação de  $\delta z$  no plano- $x_1x_2$ , nos podemos assumir  $\delta z$  paralelo ao eixo  $x_1$ , levando a:

$$\frac{dw}{dz} = \lim_{\delta z \rightarrow 0} \frac{\delta w}{\delta z} = \frac{\partial w}{\partial x_1} = \frac{\partial(\phi + i\psi)}{\partial x_1}, \quad (3.82)$$

o que leva a

$$\frac{dw}{dz} = u_1 - iu_2. \quad (3.83)$$

É fácil mostrar que tomando  $\delta z$  paralelo ao eixo  $x_2$  obtemos o mesmo resultado. A derivada  $dw/dz$  é, portanto, uma quantidade complexa cujas partes reais e imaginárias representam as componentes cartesianas da velocidade local;  $dw/dz$  é, portanto, chamado de velocidade complexa. Em princípio, qualquer fluxo potencial pode ser resolvido pelo método da transformação conforme, usando-se variáveis complexas.

### 3.9.1 Campo de Velocidade Uniforme II

Se o vetor velocidade local tiver um módulo  $r$  um ângulo  $\alpha$  com respeito ao eixo  $x$ , então

$$\frac{dw}{dz} = re^{-i\alpha} = r \cos \alpha - ir \sin \alpha \quad (3.84)$$

### 3.9.2 Fonte ou Sorvedouro na Origem II

Considere o potencial complexo

$$w = \frac{Q}{2\pi} \text{Ln } z = \frac{Q}{2\pi} \text{Ln } (re^{i\theta}). \quad (3.85)$$

$$w = \frac{Q}{2\pi} \text{Ln } (re^{i\theta}) = \frac{Q}{2\pi} \text{Ln } (r) + \frac{Q}{2\pi} \text{Ln } (e^{i\theta}), \quad (3.86)$$

$$w = \frac{Q}{2\pi} \text{Ln } (r) + i \frac{Q}{2\pi} \theta. \quad (3.87)$$

As componentes real e imaginaria são:

$$\phi = \frac{Q}{2\pi} \ln(r), \quad (3.88)$$

$$\psi = \frac{Q}{2\pi} \theta = m\theta, \quad \text{com } m = \frac{Q}{2\pi}. \quad (3.89)$$

As componentes da velocidade são:

$$u_r = \frac{1}{r} \frac{\partial \psi}{\partial \theta} = \frac{Q}{2\pi r}, \quad (3.90)$$

$$u_\theta = -\frac{\partial \psi}{\partial r} = 0. \quad (3.91)$$

### 3.9.3 Linha de Vortice II

Considere o potencial complexo

$$w = \frac{iK}{2\pi} \ln z, \quad (3.92)$$

o qual representa uma linha de vórtice com circulação  $\Gamma = K$ , no sentido anti-horário. As componentes real e imaginária são:

$$\psi = -\frac{K}{2\pi} \ln r, \quad (3.93)$$

$$\phi = \frac{K}{2\pi} \theta, \quad (3.94)$$

com as componentes da velocidade dadas por

$$u_r = 0, \quad (3.95)$$

$$u_\theta = \frac{K}{2\pi r}. \quad (3.96)$$

### 3.10 Lista de Problemas

1. Converta do sistema de coordenadas retangulares para plano polares as seguintes funções e coordenadas:

(a)  $x_1 + x_2 = 0$

(b)  $x_1^2 + x_2^2 = c$

(c)  $3x_1 + (3/x_2) = 0$

(d)  $(x, y)$

(e)  $(3, 4)$

(f)  $\vec{u} = \frac{1}{x \text{den}} + \frac{1}{y}$

(g)  $\vec{u} = \frac{1}{x \text{den}} + \frac{x}{y}$

(h)  $\vec{u} = y^2 + x^2$

2. Um fluxo idealizado incompressível tem a distribuição tridimensional de velocidade proposta

$$\vec{u} = 4x_1x_2^2\hat{i} + f(x_2)\hat{j} - x_3x_2^2\hat{k}. \quad (3.97)$$

Encontre a forma apropriada da função  $f(y)$  que satisfaz a relação da continuidade.

3. Após descartar quaisquer constantes de integração, determine o valor apropriado das velocidades desconhecidas  $u_1$  ou  $u_2$  que satisfaçam a equação da continuidade incompressível bidimensional para:

(a)  $u_1 = x_1^2x_2$ ;

(b)  $u_2 = x_1^2x_2$ ;

(c)  $u_1 = x_1^2 - x_1x_2$ ;

(d)  $u_2 = x_2^2 - x_1x_2$ ;

4. Um campo de velocidade bidimensional é dado por:

$$u_1 = -\frac{Kx_2}{x_1^2 + x_2^2}$$

$$u_2 = \frac{Kx_1}{x_1^2 + x_2^2}$$

em que  $K$  é constante. Esse campo satisfaz a continuidade incompressível? Transforme essas velocidades em componentes polares  $u_r$  e  $u_\theta$ .

5. Considere a distribuição de velocidade em coordenadas plano polares,

$$u_r = \frac{C}{r}, \quad u_\theta = \frac{K}{r}, \quad u_3 = 0$$

em que  $C$  e  $K$  são constantes. (a) Determine se a equação da continuidade é satisfeita. (b) Fazendo o esboço de algumas direções do vetor velocidade, faça um gráfico de uma única linha de corrente para  $C = K$ .

6. Um campo de fluxo incompressível tem as componentes em coordenadas cilíndricas  $u_\theta = Cr$ ,  $u_3 = K(R^2 - r^2)$ ,  $u_r = 0$  em que  $C$  e  $K$  são constantes e  $r \leq R$ ,  $x_3 \leq L$ . Esse fluxo satisfaz a continuidade?

7. Um fluxo incompressível em coordenadas polares é dado

$$u_r = K \cos \theta \left( 1 - \frac{b}{r^3} \right)$$

$$u_\theta = -K \sin \theta \left( 1 + \frac{b}{r^3} \right)$$

Esse campo satisfaz a continuidade? Para a consistência, quais devem ser as dimensões das constantes  $K$  e  $b$ ? Faça um esboço da superfície em que  $u_r = 0$  e interprete.

8. Considere o seguinte fluxo incompressível bidimensional, que claramente satisfaz a continuidade:  $u_1 = U_0 = \text{constante}$ ,  $u_2 = V_0 = \text{constante}$ . Encontre a função corrente  $\psi(r, \theta)$  para esse fluxo usando coordenadas polares.

9. Investigue a função corrente  $\psi = K(x_1^2 - x_2^2)$ , com  $K = \text{constante}$ . Trace o gráfico de algumas linhas de corrente no plano  $x_1x_2$  completo, determine quaisquer pontos de estagnação.

10. Investigue a função corrente em coordenadas polares  $\psi = Kr^{\frac{1}{2}} \text{sen } \frac{1}{2}\theta$ , com  $K = \text{constnte}$ . Trace o gráfico de algumas linhas de corrente no plano  $x_1x_2$  completo, determine quaisquer pontos de estagnação e interprete.

11. Para o campo de velocidades

$$u_1 = U_0 \left( 1 + \frac{x_1}{L} \right)$$

$$u_2 = -U_0 \frac{x_2}{L}$$

$$u_3 = 0$$

determine se existe uma função corrente e, se existir, encontre uma expressão para  $\psi(x_1, x_2)$  e faça o esboço da linha de corrente que passa pelo ponto  $(x_1, x_2) = (L/2, L/2)$ .

12. Investigue o potencial de velocidade  $\phi = Kx_1x_2$ ,  $K = \text{constante}$ . Faça um esboço das linhas equipotenciais no plano  $x_1x_2$  completo, encontre quaisquer pontos de estagnação e faça um esboço aproximado das linhas de corrente ortogonais.

13. Um campo de fluxo incompressível bidimensional é definido pelos componentes de velocidade

$$u_1 = 2V \left( \frac{x_1}{L} - \frac{x_2}{L} \right)$$

$$u_2 = -2V \frac{x_2}{L}$$

em que  $V$  e  $L$  são constantes. Se elas existem, encontre a função corrente e o potencial de velocidade.

14. Encontre o potencial de velocidade bidimensional  $\phi(r, \theta)$  para o padrão de fluxo em coordenadas polares  $u_r = Q/r$ ,  $u_\theta = K/r$ , em que  $Q$  e  $K$  são constantes.

15. Um fluxo incompressível bidimensional é definido por

$$u_1 = -\frac{Kx_2}{x_1^2 + x_2^2}$$

$$u_2 = \frac{Kx_1}{x_1^2 + x_2^2}$$

em que  $K$  é constante. Esse fluxo é irrotacional? Em caso afirmativo, encontre seu potencial de velocidade, faça um esboço de algumas linhas equipotenciais e interprete o padrão de fluxo.

16. Problema de aplicação: O vento está soprando na rua principal com fluxo de um lado para o outro, como mostra a figura. Qual é uma estimativa da velocidade no lado da rua mostrado? Assuma fluxo 2-D e densidade constante.

